

21

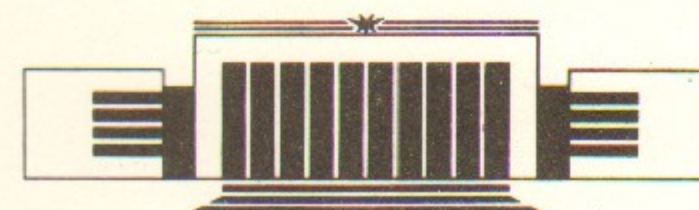


ИНСТИТУТ ЯДЕРНОЙ ФИЗИКИ  
им. Г.И. Будкера СО РАН

Д.В. Антипов, И.Н. Чуркин

КАЛИБРОВКА МНОГОКАНАЛЬНОГО  
АНАЛИЗАТОРА  
АТОМОВ ПЕРЕЗАРЯДКИ

ИЯФ 94-36



НОВОСИБИРСК

## 1 Введение

На установке ПСП-2М ведутся эксперименты с горячей вращающейся плазмой. Одним из методов пассивной диагностики горячей плазмы является анализ энергетического спектра перезарядных атомов водорода, выходящих из рабочего объема установки [1].

Для этих целей и предназначен многоканальный анализатор перезарядных нейтралов (в дальнейшем МАПН). Целью данной работы являлась калибровка узлов МАПН и подготовка анализатора к работе в условиях реального эксперимента.

Для калибровки узлов анализатора использовался “Диагностический источник нейтральных атомов” (ДИНА) [4,5]

Общая блок-схема МАПН изображена на рис.1

### Рабочие параметры МАПН

Количество каналов	9.
Диаметр каждого канала	5 мм.
Режим работы	импульсный.
Расстояние между центрами каналов	14 мм.
Длительность импульса	3 мс.
Диапазон анализируемых энергий	5–80 кэВ.
Тип анализатора энергий	электростатический.

## 2 Ионизационная камера

Ионизационная камера предназначена для ионизации быстрых атомов водорода, поступающих из области плазмы установки ПСП-2. Камера представляет собой тонкостенную металлическую коробку ( $16 \times 200 \times 400$  мм).

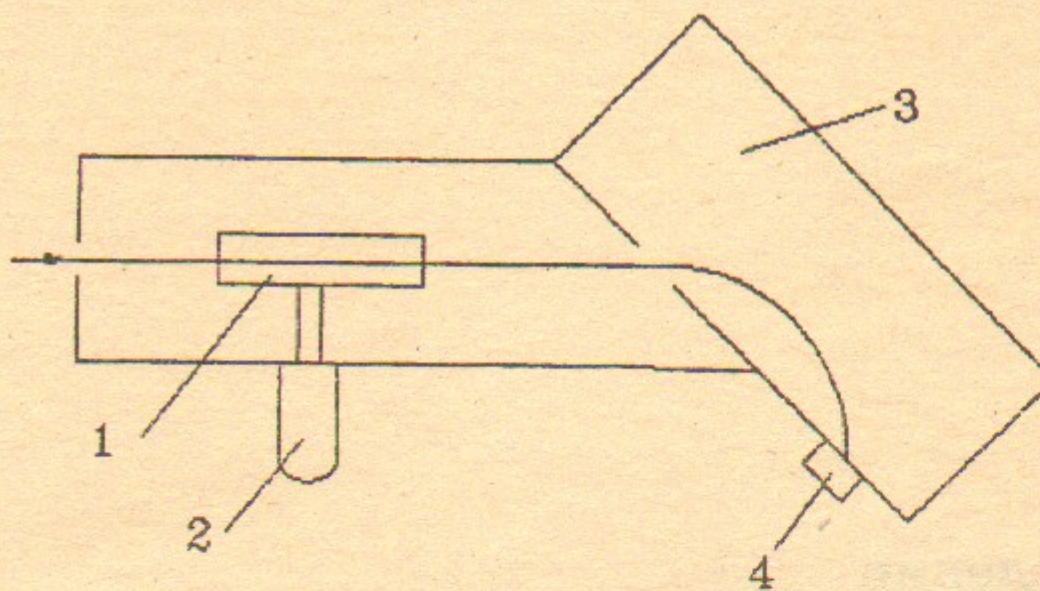


Рис. 1. Блок-схема анализатора: 1—ионизационная камера; 2—напускной клапан; 3—электростатический анализатор энергий; 4—детектор.

Газовой мишенью служит молекулярный водород, напускаемый импульсным газовым клапаном в рабочий объем камеры.

Основные газовые процессы в пространстве мишени при прохождении пучка  $H^0$  можно выразить уравнением:

$$\frac{dn_i(x)}{dx} = n_0(x) \cdot n_m(x) \cdot G_i - n_0(x) \cdot n_i(x) \cdot G_r, \quad (1)$$

$0 \leq (x) \leq l_m$ , где  $l_m = 40$  см—длина газовой мишени,  $n_m(x)$ —плотность молекулярного водорода в мишени  $n_0(x)$ —плотность потока быстрых нейтралов  $H^0$ ,  $n_i(x)$ —плотность потока быстрых ионов  $H^+$ ,  $G_i$ ,  $G_r$ —сечения ионизации и перезарядки.

В уравнении (1) не учтен процесс рассеяния  $H^0$  и  $H^+$  на молекулах мишени, но им можно пренебречь, так как при энергиях  $H^0$  и  $H^+$  больше 5 кэВ сечения ионизации и перезарядки много больше сечений рассеяния [2].

Газовая эффективность мишени  $\epsilon$ :

$$\epsilon = \frac{n_i(l_m)}{N_0}; \text{ где } N_0 = n_0(x=0).$$

Для расчета величины  $\epsilon$  на ЭВМ “Одренок” была создана программа, с помощью которой определялись значения  $\epsilon$  в диапазоне 5—80 кэВ при различных толщинах газовой мишени  $n_m \cdot l_m$  (рис.2).

Основной целью калибровки газовой мишени являлось определение величины  $n_m \cdot l_m$ .

На выходе газой мишени  $N_0 = n_0 + n_i$ . Включая и выключая газовую мишень при подаче напряжения на электростатический анализатор, определяем  $\epsilon$  по разности сигналов с прямопролетных эмиссионных датчиков:

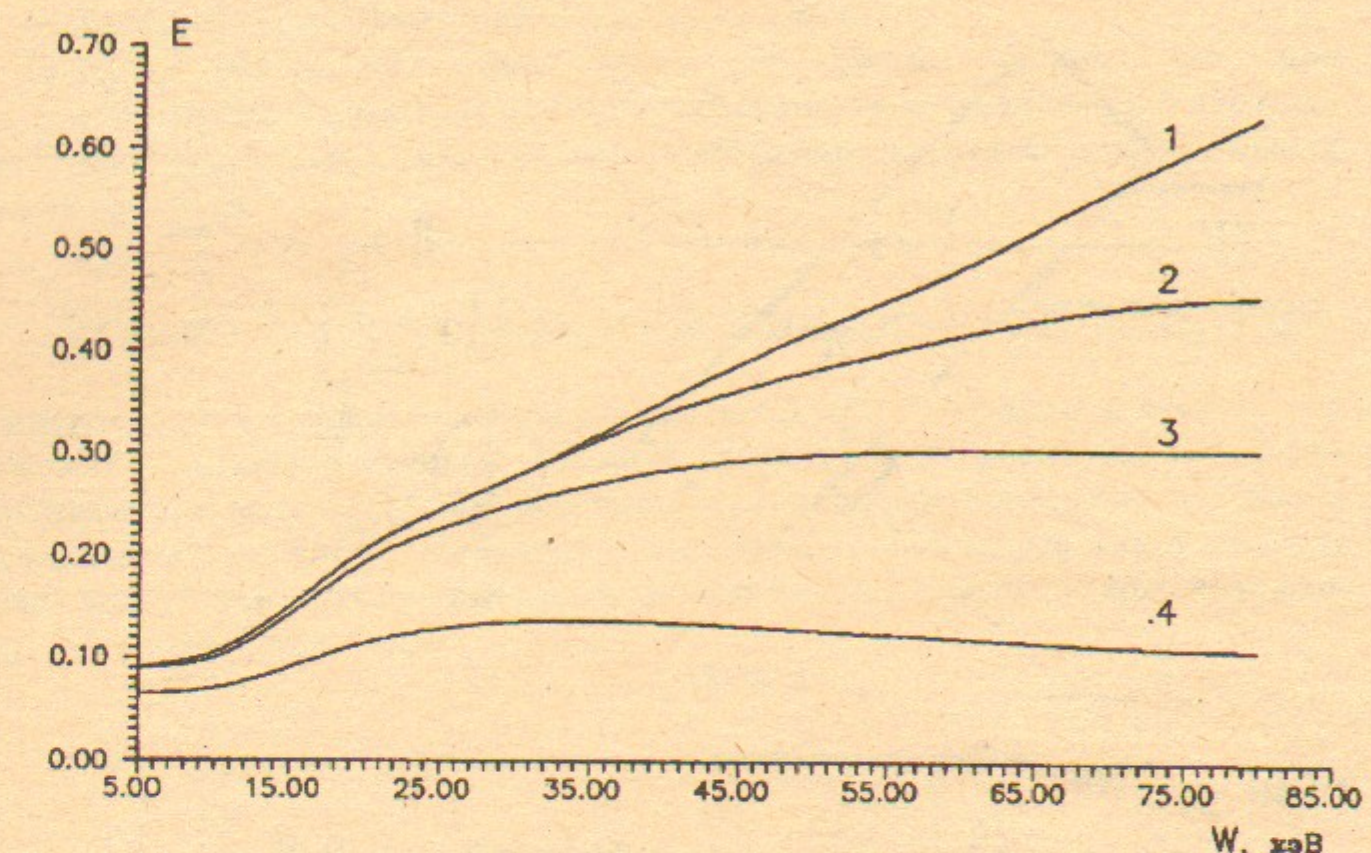


Рис. 2. Значения для кривых: 1— $4 \cdot 10^{16}$  см $^{-2}$ ; 2— $0.8 \cdot 10^{16}$  см $^{-2}$ ; 3— $0.4 \cdot 10^{16}$  см $^{-2}$ ; 4— $0.1 \cdot 10^{16}$  см $^{-2}$ .

$$\epsilon = \frac{U(N_0) - U(n_0)}{U(N_0)}.$$

Газовая толщина мишени:

$$n_m \cdot l_m = \frac{1}{G_i + G_r} \ln \left( 1 + \frac{G_i + G_r}{G_i} \left( 1 - \frac{U(n_0)}{U(N_0)} \right) \right).$$

Измерения проводились при энергии нейтралов  $H^0 = 12$  кэВ; на электростатический анализатор подавалось напряжение 10 кВ; выпуск газа в мишень производился из газовой системы, наполненной водородом под давлением 1 атм.; напряжение питания напускного клапана фиксировалось в нескольких точках и измерения проводились при различных временах задержки ( $t_{\text{зад}}$  на рис.3).

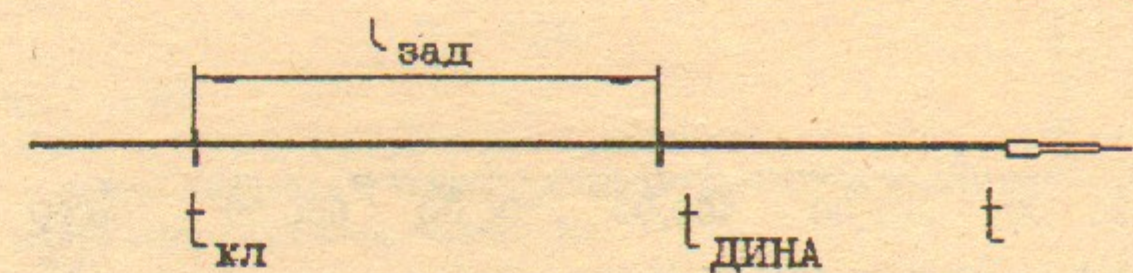


Рис. 3.  $t_{\text{кл}}$ —включение напускного клапана;  $t_{\text{дина}}$ —запуск ДИНА.

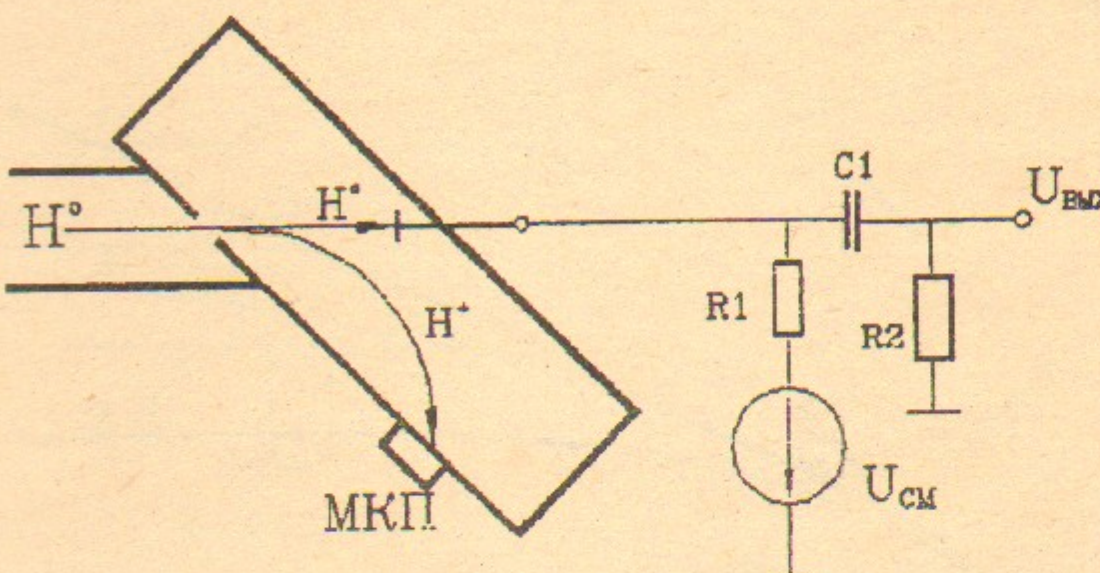


Рис. 4.

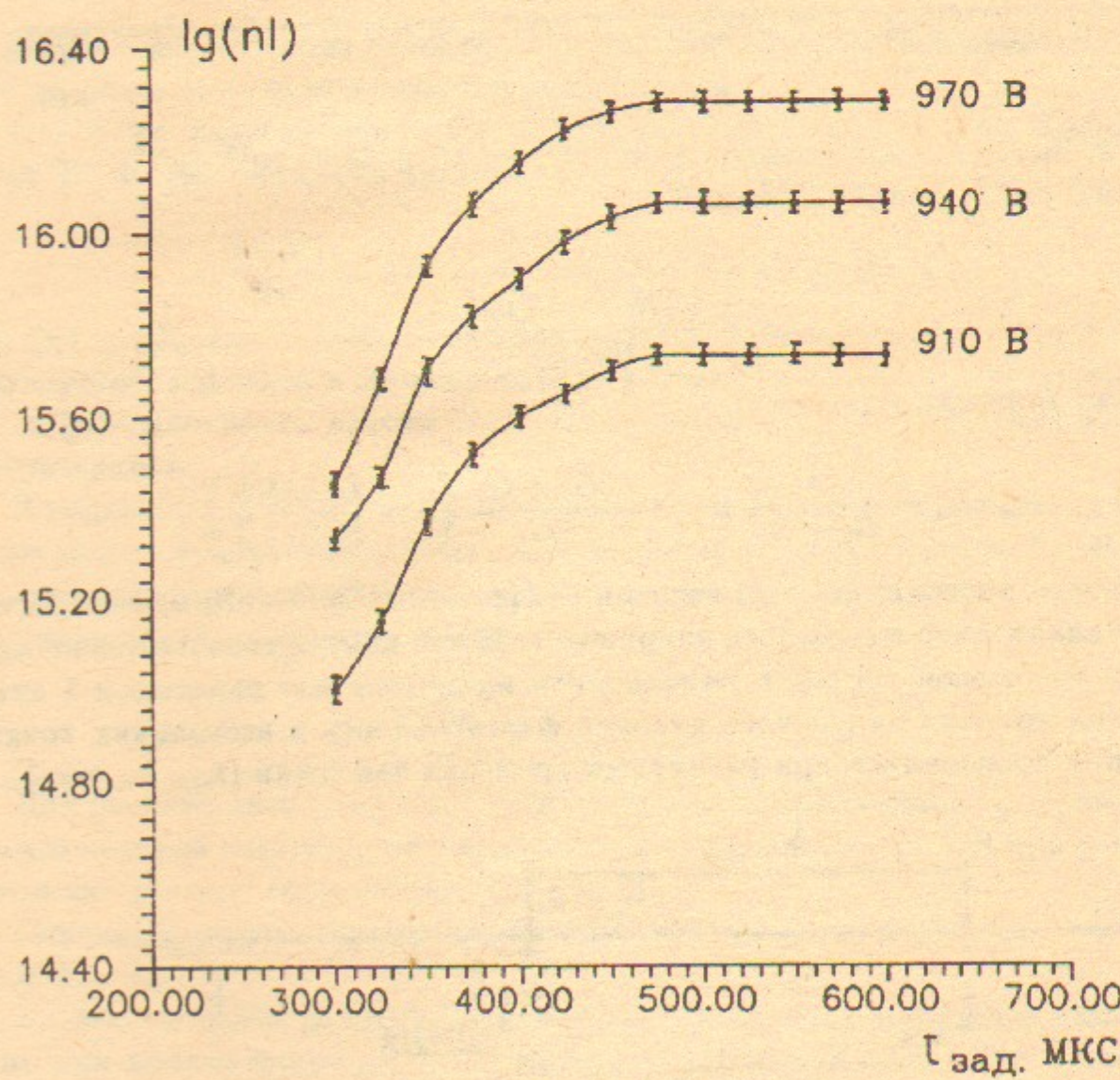


Рис. 5.

Методика и схема измерений показана на рис.4.

График зависимости представлен на рис.5. Видно, что при  $t_{\text{зад.}} \geq 480 \text{ мкс}$  кривые выходят на "полочку" стабильного значения  $n \cdot l$ , что говорит о полном натекании газа в мишень и его распределении по всему рабочему объему камеры.

### 3 Электростатический анализатор энергий

Образовавшиеся в ионизационной камере ионы  $H^+$  поступают в электростатический анализатор энергий, который схематично представляет собой две параллельные металлические пластины с однородным электрическим полем между ними (см. рис.6). Пластина 1 изолирована от корпуса анализатора и имеет вакуумный ввод для подключения источника высоковольтного напряжения. Пластина 2 заземлена.

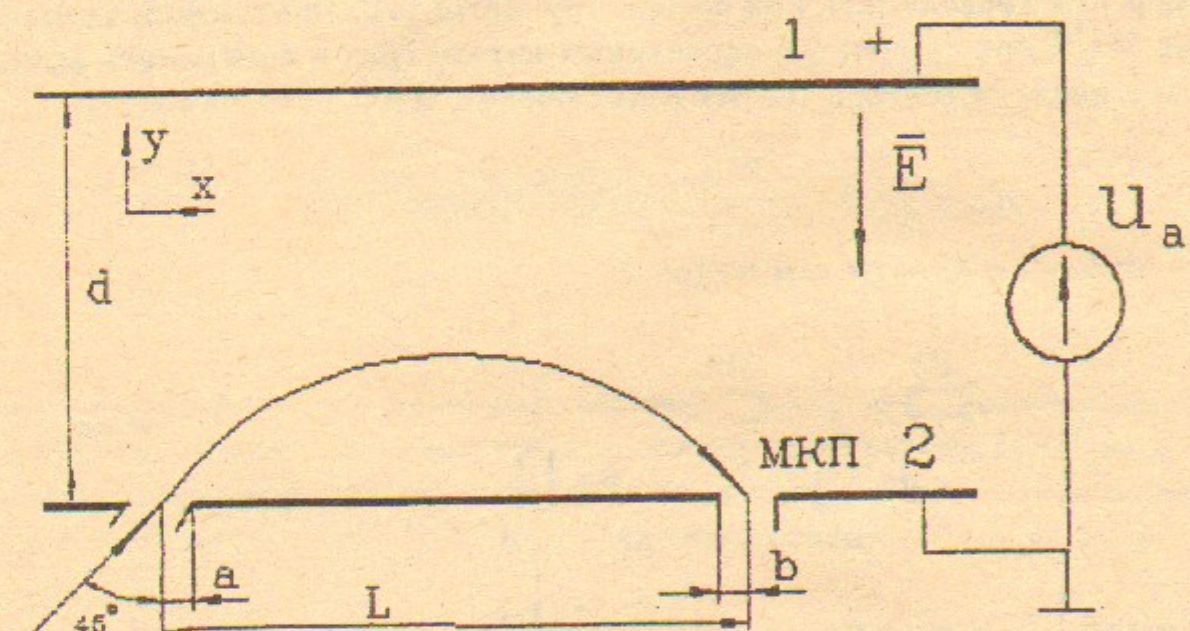


Рис. 6. Электростатический анализатор энергий:  $L=20.2 \text{ см}$ ;  $a=0.2 \text{ см}$ ;  $b=0.4 \text{ см}$ ;  $d=6.2 \text{ см}$ .

Соотношение между энергией анализируемых частиц и напряжением на анализаторе имеет простой вид [8]:

$$W = 1.68U, \quad (2)$$

где  $W$  (кэВ),  $U$  (кВ).

Соотношение (2) следует из размеров и геометрии анализатора и было подтверждено в ходе калибровки с точностью до погрешности измерения высоковольтного напряжения на анализаторе (5%).

Угол влета частиц в анализатор  $45^\circ$ —при таком угле достигается фокусировка первого порядка [8].

Дисперсия ( $D$ ) и относительная дисперсия ( $\delta$ ) анализатора [8]:

$$D = L = 20.2 \text{ см}; \quad \delta = \frac{1}{2\alpha^2}, \text{ где } \alpha \leq 0.005 \text{ rad}.$$

Относительный разброс по энергиям обусловлен геометрическими размерами анализатора:

$$\frac{\Delta E}{E} = 0.035.$$

## 4 Детектор частиц

В качестве детектора частиц на анализаторе использован вторично-электронный умножитель на основе МКП. В ходе калибровки был измерен относительный коэффициент усиления МКП-детектора и сделана оценка абсолютного коэффициента усиления.

Измерения проводились при энергии пучка 10 кэВ. Изменялось напряжение питания МКП при прочих фиксированных параметрах и измерялись выходные сигналы с анода детектора (схема подключения МКП дана на рис.7)

$$\frac{K}{K_0} = \frac{U_{\text{вых}}}{U_{\text{вых}}(U_{\text{ном}})}; \text{ где } U_{\text{ном}} = 810 \text{ В}.$$

График этой зависимости дан на рис.8.

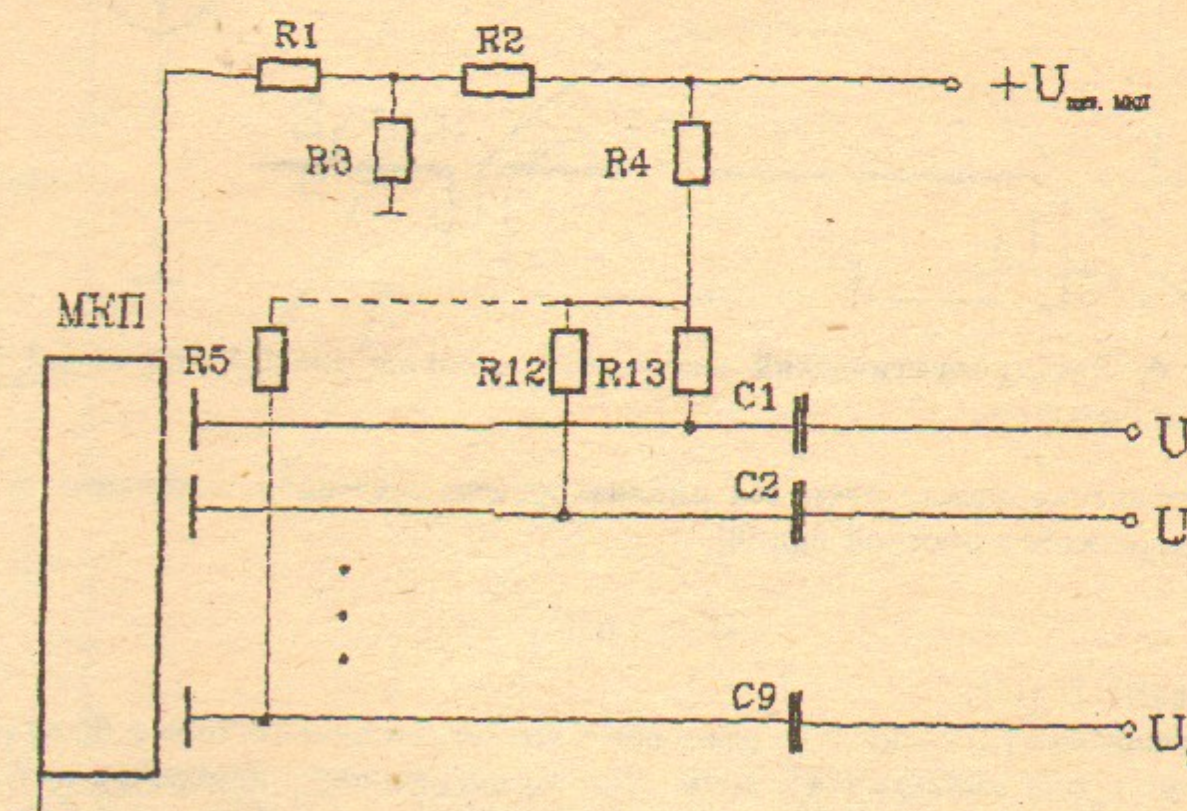


Рис. 7. Принципиальная схема МКП-детектора.

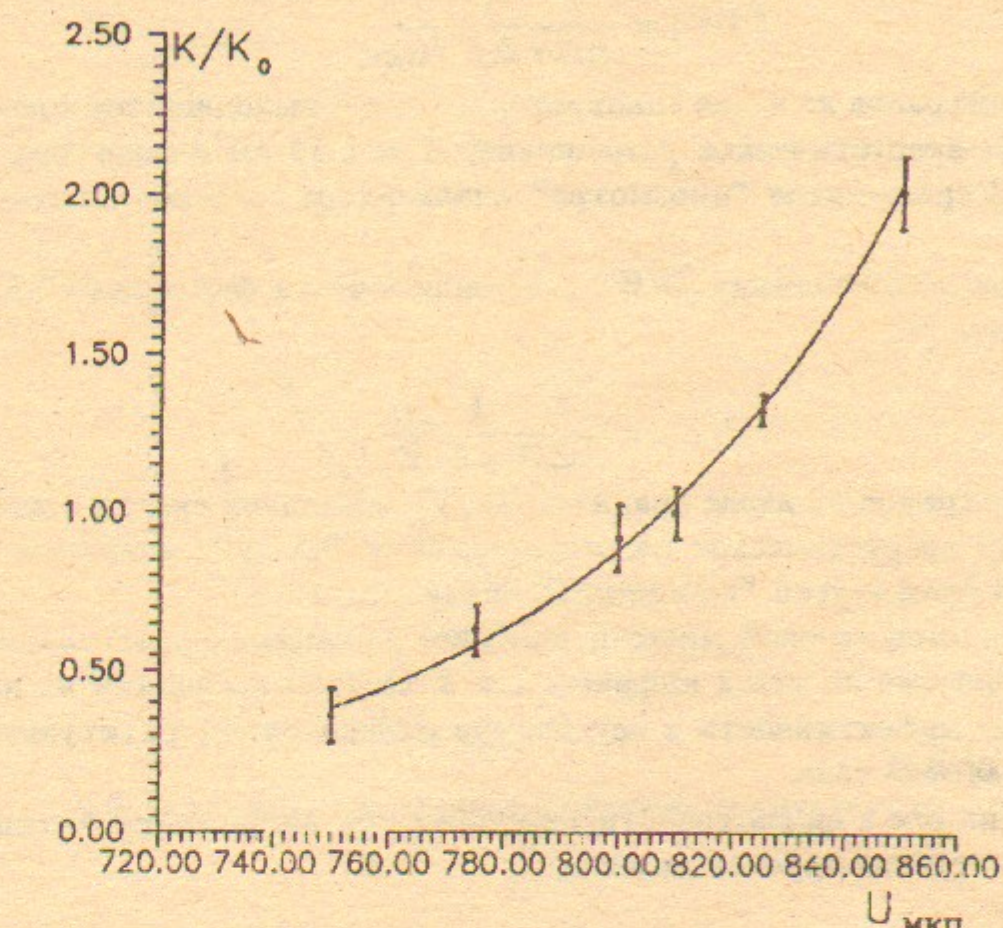


Рис. 8.

Оценим коэффициент усиления МКП при  $U_{\text{ном}}$ . При падении пучка протонов с энергией 10 кэВ под углом  $45^\circ$  к торцевой поверхности МКП из данного материала (свинцовое стекло) коэффициент вторичной электронной эмиссии порядка 0.6 (электрон/ион) [3,7]. Коэффициент усиления МКП не менее:

$$K_{\text{МКП}} = \frac{1.5 \cdot 10^{-5} \text{ А}}{0.6 \cdot 3 \cdot 10^{-9} \text{ А}} = 8 \cdot 10^3.$$

Величина тока ионов на входе МКП оценивалась по изменению сигнала с прямополетных ламелей при включении/выключении анализатора.

## 5 Заключение

В результате данной работы планировалось получить общую зависимость между выходным током МКП-детектора и током быстрых нейтралов  $H^0$  на входе анализатора в диапазоне энергий 5–80 кэВ. С использованием ДИНА были проведены измерения при энергиях нейтралов до 14 кэВ.

Были определены режимы работы газовой мишени и коэффициент усиления МКП-детектора по входному току. Полученные данные позволяют оценить коэффициент преобразования анализатором входного тока нейтральных атомов водорода.

$$D(W) = \frac{1}{A\Delta\gamma} \frac{1}{\Delta E} \frac{N_0}{I_{\text{МКП}}},$$

где  $N_0$ —ток нейтралов на входе анализатора;  $I_{\text{МКП}}$ —выходной ток с детектора;  $\Delta E = 0.035E$ —энергетическое разрешение;  $A = 0.16 \text{ см}^2$ —апертура канала;  $\Delta\gamma = 3.1E - 4$  срад.—угол “просмотра” анализатора (обусловлен геометрией канала).

Можно сравнить величину  $D(W)$  с калибровочным фактором  $C(E)$ , полученным в работе [6].

$$C(E) = \frac{1}{A\Delta\Omega} \frac{1}{\Delta E} \frac{gI_0}{V},$$

где  $I_0$ —ток нейтралов на входе анализатора;  $V$ —выходной сигнал с детектора;  $\Delta E = 0.038E$ —энергетическое разрешение;  $A = 0.5 \text{ см}^2$ —апертура канала;  $\Delta\Omega = 1.9E - 4$  срад.—угол “просмотра” анализатора.

Из всех режимов газовой мишени наиболее удобными представляются режимы, обозначенные на рис.2 цифрами 1 и 4. Однако последний из них дает малую газовую эффективность и неустойчив относительно флюктуаций количества напускаемого газа.

Кривая 1 (на рис.5 ей соответствует кривая при напряжении питания клапана 970 В) аппроксимируется прямой:

$$\varepsilon = 0.09 + 0.0053 \cdot W.$$

Тогда величина  $D(W)$ :

$$D = 1/(\varepsilon \cdot K_{\text{МКП}}) = 1/(720 + 42W), \quad K_{\text{МКП}} \text{ при } UK_{\text{ном}}.$$

Данная оценка может быть использована с точностью не лучше 30%. При падении протонов на МКП-пластину под углом  $45^\circ$  коэффициент вторичной электронной эмиссии быстро растет от 0.14 электрон/ион (при 300 эВ) до 0.6 э/ион (при 2 кэВ), оставаясь затем постоянным вплоть до 60 кэВ [3,7,9].

Таким образом,

$$N_0 = A\Delta\gamma\Delta E D(W) I_{\text{МКП}},$$

где  $I_{\text{МКП}}$ —выходной ток детектора,  $N_0$ —входной ток  $H^0$ .

Характер кривой  $D(W)$  на рис.9 соответствует характеру калибровочной зависимости для подобного анализатора в работе [6].

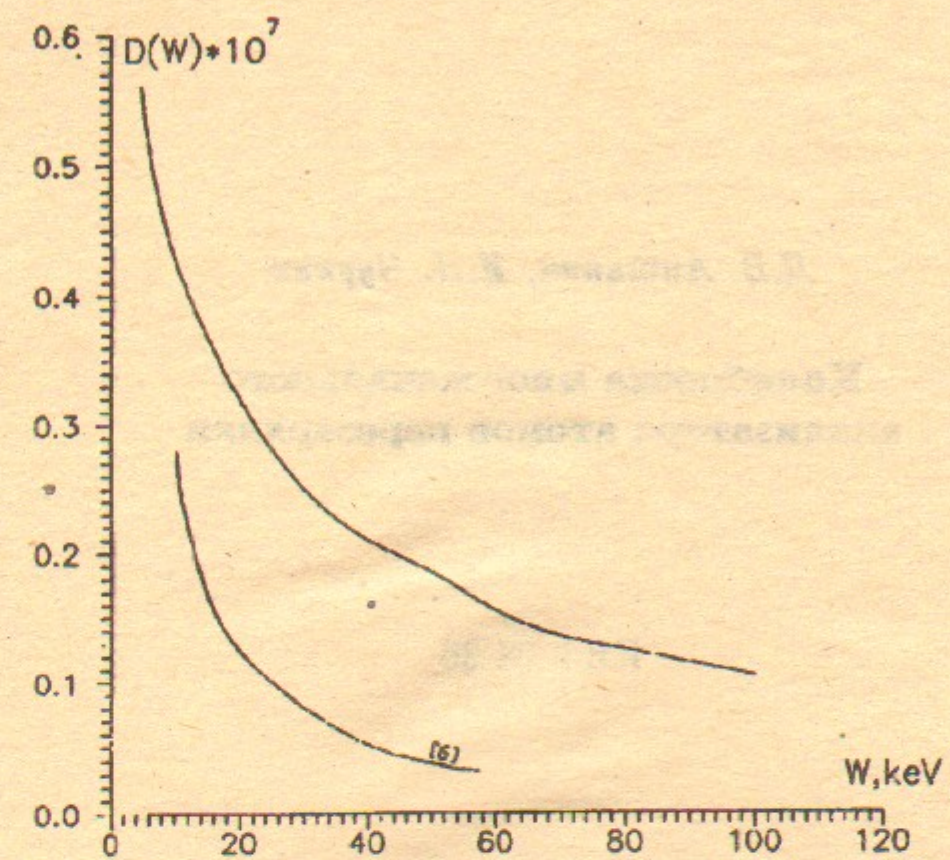


Рис. 9.

## Литература

- Г.Ф.Абдрашитов, А.В.Белобородов, В.И.Волосов, В.В.Кубарев, Ю.С.Попов, Ю.Н.Юдин. Горячая вращающаяся плазма (эксперимент ПСП-2). Препринт 89-109, ИЯФ СОРАН.
- C.F.Barnett, J.A.Ray, E.Ricci, M.I.Wilker, E.W.McDaniel, E.W.Thomas, H.B.Gilbodi. Physics division atomic data for controlled fusion research. Oak Ridge National Laboratory, operated by Union Carbide Corporation, 1977.
- B.Tatry, J.M.Bosqued, H.Reme. Nuclear Instruments and methods, 1969, v.69, p.254.
- Г.И.Димов, Г.В.Росляков. Вопросы атомной науки и техники, 1984, вып.3, стр.3.
- Г.И.Димов, Г.В.Росляков, В.Я.Савкин. ПТЭ, 1977, N4, с.29.
- W.E.Nexsen, Jr. W.C.Turner, W.F.Cummins. Rev. of Scientific Instruments, 1979, v.50, N10, p.1227.
- C.N.Burrouz, A.J.Lieber, V.T.Zaviantseff. Rev. of Scientific Instruments, 1967, v.38, p.1477.
- В.П.А.Фанасьев, С.Я.Явор. Электростатические энергоанализаторы для пучков заряженных частиц. М.: Наука, 1978.
- В.Х.Лихтенштейн. Диагностика плазмы. Сборник статей, вып.5 М.: Энергоатомиздат, 1986, стр.165.